

УДК 547.495.2:(54–145.2:544.35.03)

**СВОЙСТВА И СТРУКТУРА ВОДНЫХ РАСТВОРОВ МОЧЕВИНЫ ВПЛОТЬ
ДО СИНГУЛЯРНОЙ ТЕМПЕРАТУРЫ ПЕРЕОХЛАЖДЕННОЙ ВОДЫ.
ВЛИЯНИЕ ИЗОТОПИИ**

© 2008 **В.П. Королев****Институт химии растворов РАН, Иваново**Статья поступила 15 ноября 2007 г.*

В соотношениях для водного раствора мочевины (парциальных объемов, расширяемости, теплоемкости, адиабатической сжимаемости) проведена "привязка" свойств к сингулярной температуре T_s переохлажденной воды $T_s = 227,15$ К (*Speedy R.J. // J. Phys. Chem. – 1987. – 91. – P. 3354*). Переход к соотношениям для расчета характеристик систем $D_2O-(ND_2)_2CO$ и $T_2O-(NT_2)_2CO$ осуществлен путем изменения единственного параметра — скейлингом температуры на 6 и 9,4 К соответственно. Свойства бесконечно разбавленных растворов не обнаруживают смены знака изотопного эффекта. Изоконцентраты парциальных объемов, расширяемости образуют "веер" линий, расходящихся в области низких температур. Зависимости свойств от температуры имеют экстремумы, точки перегибов, а изотопные эффекты в растворах конечных концентраций претерпевают смену знака. Температура максимальной плотности раствора (ТМП) понижается с ростом концентрации мочевины и при переходе от $D_2O-(ND_2)_2CO$ к $H_2O-(NH_2)_2CO$. Так, для 8% раствора ТМП равна 259,6 К (протиевая система) и 266,7 К (дейтериевая система). Разность этих величин практически равна сдвигу ТМП при переходе $H_2O \rightarrow D_2O$ (7,2 К).

Ключевые слова: мочевина, водные растворы, свойства, структура, изотопия.

В работе [1] нами исследованы объемные свойства водных растворов мочевины в широком интервале температур, включая $T < 273$ К, и концентраций. Зависимости от температуры парциальных характеристик (объемов, расширяемости, температурных коэффициентов объемов) имеют характеристические точки (экстремумы, точки перегибов), положение которых смещается в область более низких температур при разбавлении раствора. Однако для парциального молярного объема воды минимум $\bar{V}_1(T)$ смещается в область более низких температур при увеличении содержания мочевины. Настоящее исследование обусловлено стремлением далее продвинуться в низкотемпературную область, обсудить более широкий спектр характеристик водного раствора мочевины и влияние на эти характеристики изотопии.

Проведенный в [1] анализ основан на данных [2]. Оказалось [1], что кажущийся молярный объем мочевины ϕ в водном растворе линейно зависит от $m^{1/2}$ (m — моляльность):

$$\phi = \phi^0 + bm^{1/2}. \quad (1)$$

В работах [3, 4] определены значения ϕ для систем $H_2O-(NH_2)_2CO$ и $D_2O-(ND_2)_2CO$ при 288, 298 и 313 К**. Исследован весь интервал концентраций от разбавленных растворов до близких к насыщению (табл. 1). Уравнение (1) во всех случаях воспроизводит $\phi(m)$ с высокой точностью (см. табл. 1). Отметим, что для d-системы m означает аквамоляльность (количество

* E-mail: korolev@isuct.ru

** Будем далее называть $H_2O-(NH_2)_2CO$ h-системой, а $D_2O-(ND_2)_2CO$ d-системой.

Таблица 1

Параметры уравнения (1) для кажущегося молярного объема ($\text{см}^3/\text{моль}$) в системах $\text{H}_2\text{O}-(\text{NH}_2)_2\text{CO}$ и $\text{D}_2\text{O}-(\text{ND}_2)_2\text{CO}$

$T, \text{К}$	m	ϕ^0	b	s_f
$\text{H}_2\text{O}-(\text{NH}_2)_2\text{CO}$				
273,15	1—10 [2]	$41,557 \pm 0,013$	$0,6753 \pm 0,0058$	0,010
288,15	0,6—15 [4]	$43,233 \pm 0,018$	$0,4155 \pm 0,0076$	0,020
298,15	0,4—16,8 [3]	$44,053 \pm 0,008$	$0,3093 \pm 0,0033$	0,020
313,15*	0,6—18 [4]	$45,050 \pm 0,018$	$0,2182 \pm 0,0061$	0,018
323,15	1—10 [2]	$45,474 \pm 0,005$	$0,1920 \pm 0,0024$	0,004
$\text{D}_2\text{O}-(\text{ND}_2)_2\text{CO}$				
288,15	0,6—15 [4]	$42,658 \pm 0,041$	$0,5012 \pm 0,0173$	0,047
298,15	1,2—18 [4]	$43,675 \pm 0,025$	$0,3599 \pm 0,0092$	0,023
313,15	2,4—18 [4]	$44,779 \pm 0,021$	$0,2465 \pm 0,0069$	0,014

* Исключена точка при $m = 1,1965$. Для параметров указаны их стандартные отклонения; s_f — стандартное отклонение подгонки.

$(\text{ND}_2)_2\text{CO}/55,508$ молей D_2O). Однаковая аквамоляльность растворенного вещества в h- и d-системах означает одинаковое мольное отношение и одинаковую мольную долю. Из табл. 1 видно, что (1) выполняется вплоть до мольного отношения мочевина:вода $\sim 1:3$.

Коэффициент b в (1) можно считать параметром взаимодействия между гидратированными молекулами мочевины в водном растворе. Во всем интервале концентраций объемная характеристика воспроизводится уравнением с единственным параметром взаимодействия. Он увеличивается от h- к d-системе и обнаруживает асимптотический рост при понижении температуры. В дальнейшем нашем анализе зависимости $\phi(m, T)$, направленном на решение задачи экстраполяции объемных характеристик в область низких температур, важное значение имеют результаты, полученные в работах [5—8]. В указанных работах развиты представления о предельной температуре устойчивости переохлажденной воды T_s (сингулярной температуре). Ее значение находят из условия, что при $T \rightarrow T_s$ электрическая проводимость иона H^+ стремится к нулю [5]. По данным [6] $T_s = 227,15 \text{ K}^*$. В области переохлаждения обнаруживают [5, 6] асимптотический рост электрического сопротивления водных растворов KCl и HCl , изотермической сжимаемости K_T и теплоемкости C_p воды, ее коэффициента объемного расширения (в абсолютном значении). При $T \rightarrow T_s K_T \rightarrow +\infty, C_p \rightarrow +\infty, \alpha_p \rightarrow -\infty$ [6].

С учетом сказанного для зависимости константы уравнения (1) от температуры получено соотношение ($r = 0,9998$), где $T_0 = T_s = 227,15 \text{ K}$:

$$\phi^0(\text{h}) = 54,39 \pm 0,11 - (87,08 \pm 0,93)/(T - 227,15)^{1/2}, \quad s_f = 0,033 \text{ см}^3/\text{моль}. \quad (2)$$

Значение показателя степени $1/2$ принято таким же, как в работах [6, 8], где приведено обоснование такого выбора. Что касается зависимости от температуры параметра взаимодействия, то соответствующее уравнение имеет вид

$$b(\text{h}) = (547,8 \pm 3,7)/(T - 227,15)^{7/4}, \quad s_f = 0,006. \quad (3)$$

В случае d-системы интервал температур весьма ограничен, особенно со стороны низких температур, где параметры (1) сильно зависят от T . В этой ситуации интуитивно, а также из общих соображений принято, что параметры (1) для d-системы должны отличаться только температурой сравнения (T_0). Подгонка $\phi^0(\text{d})$ по (2) дала $T_0 = 232,43 \pm 0,52 \text{ K}$ ($r = 0,997$). Подгонка

* В опыте температура T_s не достигается, так как переохлажденная вода замерзает при 232 К [5].

$b(d)$ по (3) дала $T_0 = 233,13 \pm 0,53$ К ($r = 0,997$). Оба значения хорошо согласуются между собой с учетом стандартных отклонений. Они также укладываются в рамки $T_s(d) - T_s(h) = 7 \pm 5$ К [7]*. Следует отметить, что при описании объемных свойств D₂O авторы [9] принимали $T_0 = 232$ К. Из двух значений T_0 следовало выбрать одно. Мы приняли $T_0 = 233,15$ К, тогда уравнения для параметров d-системы записутся:

$$\phi^0(d) = 54,39 - 87,08/(T - 233,15)^{1/2}, \quad (4)$$

$$b(d) = 547,8/(T - 233,15)^{7/4}. \quad (5)$$

Таким образом, переход от h- к d-системе осуществлен путем изменения лишь одного параметра — "скейлингом" температуры. В этом плане заслуживает упоминания работа [10], в которой "скейлинги" температуры были проведены для плотности D₂O и T₂O. При полном отсутствии данных для системы T₂O—(NT₂)₂CO оценить для нее значение ϕ^0 можно по уравнению

$$\phi^0(t) = 54,39 - 87,08/(T - T_0)^{1/2}, \quad (6)$$

где $T_0 = 236,6$ К [10].

Рассмотрим далее величины избыточных молярных характеристик. Они соответствуют изменению свойств при переходе кристаллической мочевины в растворитель (воду) с образованием бесконечно разбавленного раствора

$$\Delta Y_2^0 = \bar{Y}_2^{0E} = \bar{Y}_2^0 - Y_2, \quad (7)$$

где Y_2 — свойство кристаллической мочевины.

В работах [11, 12] отмечена интересная особенность поведения функции \bar{V}_2^{0E} , а именно наличие максимума при $T \sim 330$ К. В работе [1] мы использовали для расчета V_2 уравнение, приведенное в [11, 12], и также получили функцию $\bar{V}_2^{0E}(T)$ с максимумом, но при более высокой температуре. Согласно [11, 12], темп роста V_2 с температурой увеличивается ($E_2 = \partial V_2 / \partial T$ линейно растет с температурой). Однако это противоречит данным [4] о молярном объеме кристаллической мочевины при различных температурах. Для этих данных зависимость $V_2(T)$ описывается уравнением ($T = 273, 298, 323$ К)

$$V_2 = 46,087 \pm 0,002 - (418,2 \pm 1,3)(100/T)^6, \quad s_f = 0,001 \text{ см}^3/\text{моль}. \quad (8)$$

Согласно (8), темп роста V_2 с температурой уменьшается ($E_2(T)$ монотонно уменьшается, как и $\alpha_2 = E_2/V_2$). Это представляет определенный интерес в связи с тем, что в [1] нами обнаружено аналогичное поведение жидких метанола и этанола при температурах, близких к температурам их плавления, а также формамида при 298—323 К.

В работах [11, 12] обнаружена смена знака в изотопных эффектах для $\Delta \bar{V}_2^0 = \bar{V}_2^0(d) - \bar{V}_2^0(h)$ при ~ 297 К и $\Delta \bar{E}_2^0 = \bar{E}_2^0(d) - \bar{E}_2^0(h)$ при ~ 320 К. По нашим данным, все обсуждаемые характеристики (табл. 2), включая величины \bar{V}_2^{0E} , рассчитанные по (7) с учетом (8), изменяются с температурой монотонно. На основе этих данных мы не находим подтверждения гипотезы о том, что гидрофильный характер гидратации мочевины претерпевает качественные изменения в области умеренных температур [11, 12].

Рассмотрим теплоемкостные характеристики. По данным калориметрического эксперимента [13] кажущаяся молярная изобарная теплоемкость при всех исследованных концентрациях растет как с повышением температуры, так и с увеличением содержания в растворе мочевины, причем изотермы сближаются**.

Зависимость от температуры теплоемкости кристаллической мочевины (данные [15]) воспроизводится уравнением (240—310 К)

* На ~ 7 К отличаются температуры максимальной плотности D₂O и H₂O.

** Это согласуется с данными [14], где измерения выполнены при 298, 303 и 313 К.

Таблица 2

Свойства кристаллической мочевины и ее водных бесконечно разбавленных растворов при различных температурах

Свойство	Температура, К				
	273,15	298,15	323,15	348,15	373,15
V_2	45,08	45,49	45,72	45,85	45,93
$10^3 \cdot E_2$	22	12,0	6,8	4,0	2,5
$10^3 \cdot \alpha_2$	0,49	0,26	0,15	0,09	0,05
C_2	86,3	93,1	99,9	106,6	113,4
\bar{V}_2^0	41,55	44,06	45,50	46,47	47,18
$10^3 \cdot \bar{E}_2^0$	140	72,8	46,3	32,7	24,7
$10^3 \cdot \bar{\alpha}_2^0$	3,36	1,65	1,02	0,70	0,52
\bar{C}_2^0	29,6	82,2	102,9	113,6	119,9
\bar{V}_2^{0E}	-3,53	-1,43	-0,22	0,62	1,25
$10^3 \cdot \bar{E}_2^{0E}$	118	60,8	39,5	28,7	22,2
$10^3 \cdot \bar{\alpha}_2^{0E}$	2,87	1,39	0,87	0,61	0,47
\bar{C}_2^{0E}	-56,7	-10,9	3,0	7,0	6,5
$\Delta \bar{V}_2^0$	-0,93	-0,47	-0,29	-0,20	-0,15
$10^3 \cdot \Delta \bar{E}_2^0$	32	10,3	4,7	2,6	1,6
$10^3 \cdot \Delta \bar{\alpha}_2^0$	0,87	0,26	0,11	0,06	0,04

Примечание. $\bar{V}_2^0 = \phi^0$. Единицы измерения: V — см³/моль; E — см³/(моль·К), α — 1/К, C — Дж/(моль·К). Изотопная разность $\Delta \bar{Y}_2^0 = \bar{Y}_2^0(d) - \bar{Y}_2^0(h)$.

$$C_2 = 12,42 \pm 0,11 + (0,27063 \pm 0,00041)T, \quad s_f = 0,03 \text{ Дж/(моль·К).} \quad (9)$$

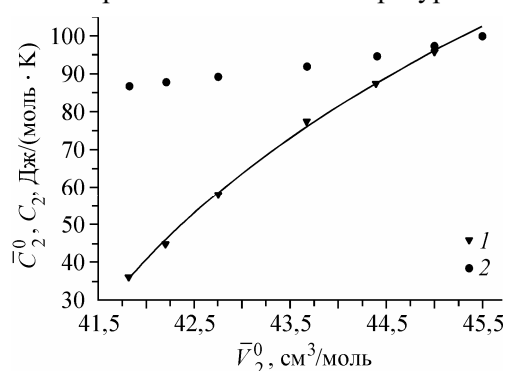
Тогда стандартная теплоемкость растворения мочевины в воде

$$\bar{C}_2^{0E} = \Delta C^0 = \bar{C}_2^0 - C_2, \quad (10)$$

рассчитанная из данных [13], будет становиться все более отрицательной величиной при понижении температуры (рис. 1). Теплоемкость \bar{C}_2^0 , определенная из измерения активности при различных температурах [4], линейно уменьшается от 162 до 13 Дж/(моль·К) при повышении температуры от 278 до 318 К. Из этих данных следует, что $\Delta C^0 > 0$ при пониженной температуре.

Поскольку теплоемкость является важной характеристикой, чувствительной к структурным изменениям в растворе, обусловленным гидрофильными и гидрофобными эффектами, необходимо определиться с тем, какие данные верны. Авторы [12] отдают предпочтение работе [4] как более поздней.

Рис. 1. Зависимость парциальной молярной теплоемкости мочевины (1) или кристаллической мочевины (2) от парциального молярного объема. Значения C_2 рассчитаны по уравнению (9), линия — расчет по уравнению (11)



На наш взгляд, найти истину можно, опираясь на результаты, полученные в [16, 17]. В этих работах установлено, что \bar{C}_2^0 растет пропорционально росту \bar{V}_2^0 , причем линейная корреляция $\bar{C}_2^0(\bar{V}_2^0)$ в случае растворителя воды выполняется для 188 веществ, относящихся к разным классам органических соединений. Более того, анализ показывает, что изотопное замещение действует аналогичным образом. Так, при переходе от H_2O к D_2O рост молярного объема сопровождается увеличением теплоемкости [18]. При переходе от системы $\text{H}_2\text{O}-(\text{NH}_2)_2\text{CO}$ к $\text{D}_2\text{O}-(\text{ND}_2)_2\text{CO}$ уменьшение $\bar{V}_2^0 = \phi^0$ (см. табл. 1, 2) сопровождается уменьшением \bar{C}_2^0 (данные [19] при 298 К). При увеличении концентрации мочевины растут и кажущийся объем (см. табл. 1), и кажущаяся теплоемкость [13].

Учитывая рост \bar{V}_2^0 с температурой (см. табл. 1) и сказанное выше, можно сделать вывод, что правильная зависимость $\bar{C}_2^0(T)$ получена в [13]. Однако эта функция не является линейной в координатах \bar{C}_2^0, \bar{V}_2^0 , как следует из приводимого ниже соотношения ($r > 0,999$):

$$\bar{C}_2^0(h) = (114 \pm 16)[(\bar{V}_2^0(h) - 40,32 \pm 0,51)^{1/3} - 0,83 \pm 0,17], \quad s_f = 1,2 \text{ Дж/(моль}\cdot\text{К}). \quad (11)$$

При подгонке были использованы значения \bar{C}_2^0 из [13] при 275, 278, 293, 303 и 313 К и значения \bar{V}_2^0 для тех же температур, рассчитанные по уравнению (2). Сопоставление опытных и расчетных величин приведено на рис. 1. Из графика видно, что при пониженных температурах \bar{C}_2^0 уменьшается быстрее, чем \bar{V}_2^0 , т.е. с большим темпом. Теплоемкость — это скорость изменения энталпии по координате температура. Скорость изменения объема с температурой — это расширяемость ($\bar{E}_2^0 = \partial \bar{V}_2^0 / \partial T$). Логично предположить, что эти величины могут быть связаны между собой линейной зависимостью. Действительно, зависимость $\bar{C}_2^0(\bar{E}_2^0)$ оказывается линейной ($r > 0,999$):

$$\bar{C}_2^0(h) = (783 \pm 16)(0,1777 \pm 0,0018 - \bar{E}_2^0(h)), \quad s_f = 1,1 \text{ Дж/(моль}\cdot\text{К}). \quad (12)$$

Уравнение (12) содержит на один параметр меньше, чем (11), но является не менее точным*. Это уравнение позволяет оценить парциальные теплоемкости систем $\text{D}_2\text{O}-(\text{ND}_2)_2\text{CO}$ и $\text{T}_2\text{O}-(\text{NT}_2)_2\text{CO}$, если подставить вместо $\bar{E}_2^0(h)$ соответственно $\bar{E}_2^0(d)$ или $\bar{E}_2^0(t)$, рассчитываемые по (4) или (6), учитывая, что $\bar{V}_2^0 = \phi^0$, $\bar{E}_2^0 = \partial \bar{V}_2^0 / \partial T$. Однако есть более точный вариант расчета.

Выше упоминалось, что изотопная разность $\bar{C}_2^0(d) - \bar{C}_2^0(h) = -4,4 \text{ Дж/(моль}\cdot\text{К})$ при 298,15 К [19]**. Можно из общих соображений допустить, что изотопный эффект в теплоемкости прямо пропорционален изотопному эффекту в расширяемости (см. табл. 2). Тогда получаем

$$\bar{C}_2^0(d) - \bar{C}_2^0(h) = -427(\bar{E}_2^0(d) - \bar{E}_2^0(h)). \quad (13)$$

Величину парциальной молярной теплоемкости необходимо знать, чтобы перейти от адиабатической сжимаемости к изотермической. Обе характеристики являются структурочувствительными [12]. В указанной работе приведены значения предельной парциальной адиабатической сжимаемости h- и d-систем при 278—338 К. Мы нашли, что для обеих систем $\bar{K}_{S,2}^0$ линейно зависят от \bar{E}_2^0 ($r = 0,999$):

* Результаты расчета приведены в табл. 2.

** Авторы [12] ошиблись, приписав величине $\bar{C}_2^0(d) - \bar{C}_2^0(h)$ знак плюс (см. оригинальную работу [19]). Они также необоснованно принимали, что изотопная разность не зависит от температуры.

$$10^9 \cdot \bar{K}_{S,2}^0(h) = 12,06 \pm 0,43 - (205,8 \pm 5,2) \bar{E}_2^0(h), \quad s_f = 0,37 \cdot 10^{-9} \text{ см}^3/(\text{моль}\cdot\text{Па}), \quad (14)$$

$$10^9 \cdot \bar{K}_{S,2}^0(d) = 12,94 \pm 0,48 - (198,9 \pm 5,0) \bar{E}_2^0(d), \quad s_f = 0,44 \cdot 10^{-9} \text{ см}^3/(\text{моль}\cdot\text{Па}). \quad (15)$$

Параметры в (14) и (15) различаются незначительно на фоне их стандартных отклонений. В первом приближении можно считать, что изотопная разность $\bar{K}_{S,2}^0(d) - \bar{K}_{S,2}^0(h)$ находится в прямо пропорциональной зависимости от разности $\bar{E}_2^0(d) - \bar{E}_2^0(h)$. Это косвенно подтверждает справедливость соотношения (13). Действительно, совместная обработка данных о $\bar{K}_{S,2}^0$ для h- и d-систем приводит к уравнению ($r = 0,994$):

$$10^9 \bar{K}_{S,2}^0 = 12,2 \pm 0,7 - (198 \pm 8) \bar{E}_2^0, \quad s_f = 0,9 \cdot 10^{-9} \text{ см}^3/(\text{моль}\cdot\text{Па}). \quad (16)$$

Это означает, что $\bar{K}_{S,2}^0(d) - \bar{K}_{S,2}^0(h) = -198 \cdot 10^{-9} (\bar{E}_2^0(d) - \bar{E}_2^0(h))$. Для тритиевой системы $\bar{K}_{S,2}^0(t)$ можно рассчитать так: $10^9 \bar{K}_{S,2}^0(t) = 12,2 - 198 \bar{E}_2^0(t)$.

Переход от \bar{K}_S^0 к \bar{K}_T^0 выполняется в соответствии с уравнением [12]:

$$\bar{K}_{T,2}^0 = \bar{K}_{S,2}^0 + TE_1(2\bar{E}_2^0 - E_1\bar{C}_2^0/C_1)/C_1. \quad (17)$$

Результаты расчетов даны в табл. 3 и 4. Следует подчеркнуть, что все рассчитанные свойства получены, с учетом приведенных выше соотношений, путем "скейлинга" единственной переменной — температуры.

Рассмотрим парциальные молярные объемы мочевины \bar{V}_2 и воды \bar{V}_1 в растворе. С учетом (1) их рассчитывают по известным соотношениям

$$\bar{V}_2 = \phi + 1/2m^{1/2}(\partial\phi/\partial m^{1/2}), \quad (18)$$

$$\bar{V}_1 = V_1 - 1/2(1/55,508)m^{3/2}(\partial\phi/\partial m^{1/2}), \quad (19)$$

причем

$$\phi = 54,39 - 87,08/(T - T_0)^{1/2} + 547,8m^{1/2}/(T - T_0)^{7/4}, \quad (20)$$

где $T_0(h) = 227,15$ К, $T_0(d) = 233,15$ К, $T_0(t) = 236,6$ К, m — аквамоляльность.

В работе [1], где была только система $\text{H}_2\text{O}-(\text{NH}_2)_2\text{CO}$, нам не удалось осуществить "привязку" объемных характеристик к $T_0 = T_s = 227,15$ К. При получении уравнения для $\phi(m,T)$ в [1] был использован менее представительный набор данных. Однако для целей описания уравнение [1] является не менее точным, чем (20). Стоксом [2] получены два значения ϕ при $T < 273$ К. Их сопоставление с результатами расчета подтверждает сказанное (табл. 5).

На рис. 2 показаны изомоляльные серии $\bar{V}_2(T)$ для h- и d-систем. На всем интервале температур $\bar{V}_2(d)$ заметно меньше, чем $\bar{V}_2(h)$, т.е. "дейтерирование ... приводит к образованию более плотноупакованной структуры" [12]. С ростом концентрации кривые для h- и d-систем сближаются.

В бесконечно разбавленном растворе мочевина существует в форме гидратированных мономеров. В растворах конечных концентраций предполагают равновесие с константой, равной K_2 [2, 4]*:



Согласно [4], $K_2(h) = 0,06$ при 283 К в шкале моляльности. При повышении температуры на 10 К $K_2(h)$ уменьшается на 0,006, и на такую же величину она уменьшается при переходе

* Результаты компьютерного моделирования концентрированных растворов мочевины в воде противоречивы. В [20] сделан вывод, что даже при концентрации больше 10 моль/л прямое взаимодействие между молекулами амида отсутствует. В [21], напротив, отмечается тенденция к образованию мочевиной димеров с ростом ее концентрации, хотя энергия взаимодействия $U-U$ в лучшем случае составляет около 3 % от общей энергии взаимодействия.

Таблица 3

Свойства воды, тяжелой воды и водных растворов мочевины при различных температурах

Свойство	Температура, К				
	278,15	283,15	298,15	318,15	338,15
H ₂ O—(NH ₂) ₂ CO					
\bar{V}_2^0	42,20	42,75	44,06	45,26	46,12
$10^3 \cdot E_1$ [12]	0,288	1,584	4,645	7,688	10,182
C_1 [12]	75,70	75,52	75,30	75,30	75,42
$10^3 \cdot \bar{E}_2^0$	120	104	72,8	50,2	37,2
$10^3 \cdot \bar{E}_2^0$ [12]	106,7	98,8	75,2	43,8	12,3
\bar{C}_2^0	45,2	57,8	82,2	100	110
$10^9 \cdot \bar{K}_{S,2}^0$ [12]	-12,45	-9,43	-3,35	2,14	4,32
$10^9 \cdot \bar{K}_{T,2}^0$	-12,2	-8,2	-0,8	5,1	7,0
$10^9 \cdot \bar{K}_{T,2}^0$ [12]	-12,2	-8,3	-0,7	4,9	5,8
D ₂ O—(ND ₂) ₂ CO					
\bar{V}_2^0	41,41	42,08	43,59	44,94	45,89
$10^3 \cdot E_1$ [12]	-2,046	-0,37	3,481	7,049	9,896
C_1 [12]	84,82	84,60	84,21	84,10	84,31
$10^3 \cdot \bar{E}_2^0$	144	123	83,1	55,6	40,5
$10^3 \cdot \bar{E}_2^0$ [12]	129,1	118,6	87,1	45,2	3,2
\bar{C}_2^0	35,0	49,7	77,8	97,6	109
$10^9 \cdot \bar{K}_{S,2}^0$ [12]	-15,48	-11,80	-3,80	2,44	4,59
$10^9 \cdot \bar{K}_{T,2}^0$	-17,4	-12,1	-1,8	5,2	7,3
$10^9 \cdot \bar{K}_{T,2}^0$ [12]	-17,2	-12,1	-1,7	4,8	5,1
T ₂ O—(NT ₂) ₂ CO					
\bar{V}_2^0	40,88	41,63	43,29	44,75	45,75
$10^3 \cdot \bar{E}_2^0$	163	137	90	48	43
\bar{C}_2^0	27	44	77	96	108
$10^9 \cdot \bar{K}_{S,2}^0$	-20	-15	-5,6	2,7	3,7

Примечание. Единицы измерения: сжимаемости — см³/(моль·Па), остальных величин — как в табл. 2. Парциальная теплоемкость тритиевой системы рассчитана по уравнению: $\bar{C}_2^0(t) = \bar{C}_2^0(d) - 427(\bar{E}_2^0(t) - \bar{E}_2^0(d))$.

к d-системе [4]. В 6т растворе при 293 К в случае h-системы 16,3 % молекул мочевины существует в виде димеров. При повышении температуры h-системы до 293 К или при переходе к d-системе степень димеризации уменьшается до 15,4 %. Однако изменение парциальных

Таблица 4

Свойства воды и водных растворов мочевины при пониженных температурах

Свойство	Температура, К					
	273,15	263,15	253,15	243,15	233,15	$T_0 = T_s = 227,15$
V_1	18,018	18,049	18,128	18,292	18,655	19,578
$10^3 \cdot E_1$	-1,24	-5,17	-11,3	-22,9	-58,5	$-\infty$
$10^6 \cdot \alpha_1$ [6]	-68,7	-286	-624	-1252	-3136	$-\infty$
C_1 [6]	75,93	77,13	79,99	87,46	116,6	$+\infty$
$10^9 \cdot K_{T,1}$ [6]	9,19	10,09	11,60	14,58	23,73	$+\infty$
\bar{V}_2^0	41,55	39,88	37,31	32,62	18,84	$-\infty$
$10^3 \cdot \bar{E}_2^0$	140	202	328	680	2963	$+\infty$
$10^3 \cdot \bar{\alpha}_2^0$	3,37	5,06	8,79	20,8	157	$-\infty$
\bar{C}_2^0	30	-19	-118	-393	-2181	$-\infty$
$10^9 \cdot \bar{K}_{S,2}^0$	-17	-30	-55	-128	-598	$-\infty$
$10^9 \cdot \bar{K}_{T,2}^0$	-18	-37	-78	-208	-1163	$-\infty$

Примечание. Значения V_1 , E_1 и $K_{T,1}$ рассчитаны нами из данных [6]. Единицы измерения приведены в табл. 2 и 3.

объемов не согласуется с одинаковым изменением степени димеризации при переходах h($283 \rightarrow 293$) и h \rightarrow d. Для 6m раствора h-системы переход $283 \rightarrow 293$ К соответствует $\Delta \bar{V}_2 = +0,48$ см³/моль, а переход h \rightarrow d при 283 К соответствует $\Delta \bar{V}_2 = -0,29$ см³/моль. Из рис. 2 видно, что дейтерирование действует на \bar{V}_2 в том же направлении, что и понижение температуры, однако эти изменения не определяются взаимодействиями между молекулами мочевины. Стоит также отметить, что изотопная разность в парциальном молярном объеме мочевины меняет знак. Для 6m раствора соответствующая температура равна ~ 263 К. При разбавлении раствора смена знака изотопного эффекта происходит при более низкой температуре (см. рис. 2).

Изомоляльные серии для парциальной молярной расширяемости \bar{E}_2^0 в h- и d-системах показаны на рис. 3. На всем интервале температур изотопная разность $\Delta \bar{E}_2^0$ больше нуля, т.е. d-система, имеющая более плотноупакованную структуру ($\Delta \bar{V}_2^0 < 0$, см. рис. 2), характеризуется большим темпом изменения объема. Ситуация, однако, меняется при переходе к растворам конечных концентраций. Так, в случае 6m раствора при $T > 285$ К $\Delta \bar{E}_2 \sim 0$. Ниже указанной температуры $\Delta \bar{E}_2 < 0$. В более разбавленных растворах отрицательный изотопный эффект в расширяемости наблюдается при более низкой температуре, например, для 1m раствора при $T < 257$ К.

Следует обратить внимание на явление отрицательной расширяемости ($\bar{E}_2 < 0$), что соответствует увеличению \bar{V}_2 при охлаждении (см. рис. 2). Для 6m раствора отрицательная рас-

Таблица 5

Опытные и расчетные значения ϕ (см³/моль) при пониженных температурах

T , К	m	ϕ [2]	Расчет	
268,37	4	42,47	42,46*	42,46**
264,04	8	42,73	42,82*	42,85**

* Уравнение (8) из [1].

** Уравнение (20) настоящей работы.

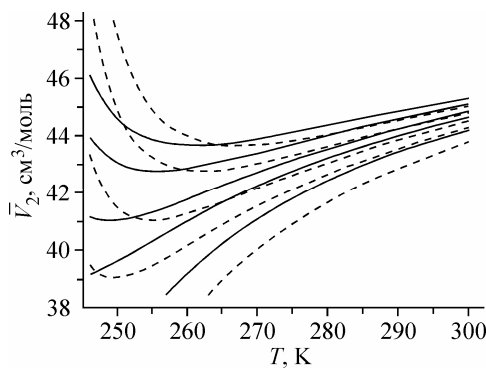


Рис. 2. Парциальные объемы мочевины в h-системе (сплошные линии) и d-системе (прерывистые линии). Аквамоляльности снизу вверх: 0, 1, 2, 4, 6

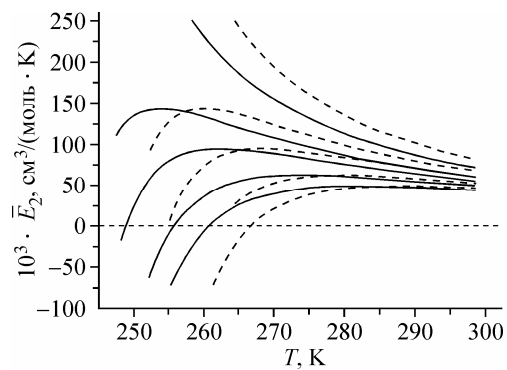


Рис. 3. Парциальная расширяемость мочевины в h-системе (сплошные линии) и d-системе (прерывистые линии). Аквамоляльности сверху вниз: 0, 1, 2, 4, 6

ширяемость наблюдается при $T < 261$ К (h-система) и $T < 267$ К (d-система). Ранее феномен отрицательной парциальной расширяемости растворенного вещества наблюдали в случае бесконечно разбавленных растворов мочевины в метаноле [22], воды в метаноле и *трет*-бутиловом спирте [23]. Пока эти экспериментальные факты не получили должного объяснения.

На рис. 4 показаны изомоляльные серии $\bar{V}_1(T)$. Чистая вода после прохождения точки минимума обнаруживает рост объема при охлаждении. Разбавленные растворы ведут себя подобным образом, но только до определенной температуры, ниже которой парциальный объем \bar{V}_1 уменьшается при охлаждении. В результате кривые $\bar{V}_1(T)$ имеют два экстремума: минимум в области более высокой температуры и максимум в области более низкой. С ростом концентрации "седло" исчезает и уже для 10*m* раствора $\bar{V}_1(T)$ представляет монотонно убывающую функцию. Все эти отмеченные особенности более "выпукло" отражены на зависимостях $\bar{E}_1(T)$ (рис. 5).

На рис. 6 показано изотопное отношение $\bar{V}_1(d)/\bar{V}_1(h)$. Для чистых растворителей $V_1(d)/V_1(h)$ только растет при охлаждении, оставаясь больше единицы. Уже 2*m* раствор обнаруживает максимум в низкотемпературной области (~245 К). Более концентрированные растворы обнаруживают ниспадающие ветви, пересекающие линию $\bar{V}_1(d) = \bar{V}_1(h)$. $\bar{V}_1(d) < \bar{V}_1(h)$ для 4*m* раствора при $T < 243$ К, 6*m* — $T < 248$ К и 10*m* — $T < 258$ К. Характеризуя в целом поведение системы вода—мочевина в области низких температур (см. рис. 2—6), можно сказать, что здесь-то и начи-

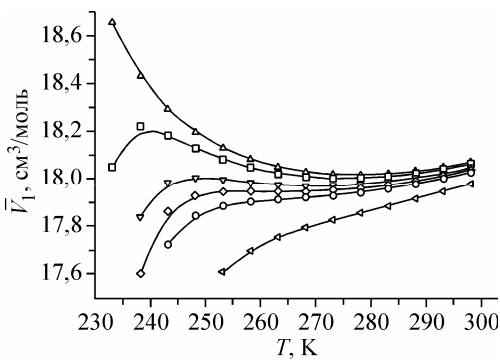


Рис. 4. Парциальные объемы воды в водном растворе мочевины. Моляльности сверху вниз: 0, 2, 4, 5, 6, 10. Линии проведены для наглядности

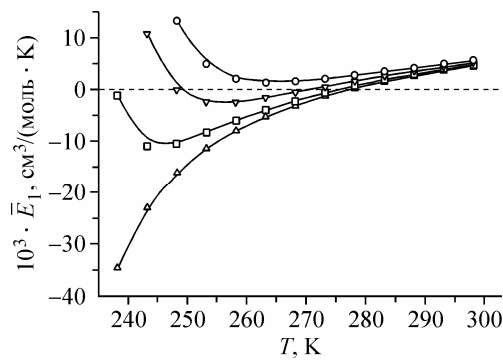


Рис. 5. Парциальная расширяемость воды в водном растворе мочевины. Моляльности снизу вверх: 0, 2, 4, 6. Линии проведены для наглядности

Рис. 6. Изотопное отношение объемов. Аквамоляльности сверху вниз: 0, 2, 4, 5, 6, 10. Линии проведены для наглядности

нается самое интересное: уникальное по диапазону изменение свойств, скорость изменений, необычные изотопные эффекты. Очевидно, что этим изменениям соответствует структурная реорганизация системы, которая даже в общих чертах остается непонятной.

В заключение статьи вкратце рассмотрим такое интересное явление, как достижение жидкостью максимальной плотности при определенной температуре. Для изотопных разновидностей воды температура максимальной плотности (ТМП) растет в ряду H_2O , D_2O , T_2O [23, 24]. Возможен ли эффект существования максимальной плотности для достаточно концентрированных растворов мочевины? Как изменяется ТМП при изменении содержания мочевины в растворе и как на ТМП растворов влияет изотопия? Результаты, полученные в настоящей работе, позволяют дать ответы на эти вопросы.

Из определения кажущегося молярного объема следует выражение для объема V , содержащего 55,508 молей растворителя и m молей растворенного вещества

$$V = \phi \cdot m + 55,508M_1/\rho_1, \quad (22)$$

где M — молярная масса, ρ — плотность. Имея соотношение (20) для $\phi(T)$ и данные [6, 10, 23] для $\rho_1(T)$, можно рассчитать ТМП с учетом того, что в этой точке $\partial V / \partial T = 0$. Мы провели такие расчеты для нескольких выбранных концентраций (m — аквамоляльность), результаты расчетов представлены в табл. 6. Наблюдаются интересные эффекты. Для обеих систем ТМП заметно уменьшаются с ростом концентрации до $m = 4$, а далее температуры сравнительно слабо зависят от концентрации. Следует, однако, отметить, что после достижения точки минимума при $m \sim 6$ температуры в обоих случаях незначительно, но *повышаются* с ростом m . Это совершенно неожиданный результат, который, конечно же, нуждается в экспериментальной проверке. Если этот эффект и не найдет подтверждения, то сам факт наличия ТМП для весьма концентрированных водных растворов мочевины ранее никем не прогнозировался и представляется нетривиальным. Нужно также обратить внимание на то, что немонотонное изменение ТМП с изменением концентрации косвенным образом подтверждается поведением изотопной разности в ТМП (см. табл. 6). Эта величина сначала увеличивается до $m = 4$, а затем уменьшается. Для раствора $8m$ переход от $H_2O-(NH_2)_2CO$ к $D_2O-(ND_2)_2CO$ сопровождается таким же сдвигом ТМП, как при переходе от H_2O к D_2O (см. табл. 6)*.

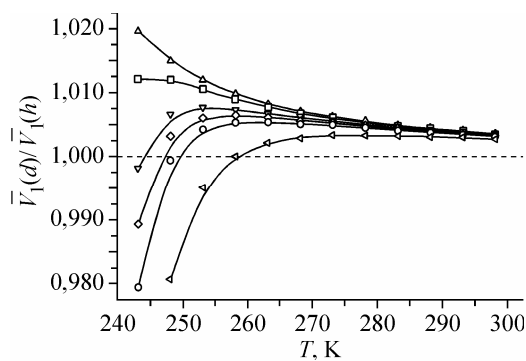


Таблица 6

Температуры максимальной плотности (К) для растворов мочевины различной концентрации

Система	m							
	0	0,5	1	2	4	6	8	10
$H_2O-(NH_2)_2CO$	277,1	273,6	270,3	264,4	259,0	258,6	259,6	261,0
$D_2O-(ND_2)_2CO$	284,3	281,1	278,0	272,3	267,0	266,1	266,7	267,9
$T(d)-T(h)$	7,2	7,5	7,7	7,9	8,0	7,5	7,1	6,9

Работа выполнена при финансовой поддержке Российского фонда фундаментальных исследований, проект № 06-03-96320 р-центр-а.

* Уравнение для растворимости мочевины в воде [4] получено для $T > 273$ К. Используя его как экстраполяционное, находим $m = 8,7$ в насыщенном растворе при 263 К. Таким образом, температуры в случае $10m$ растворов (см. табл. 6) находятся в области пересыщения, однако они приведены для полноты картины.

СПИСОК ЛИТЕРАТУРЫ

1. Королев В.П. // Журн. структур. химии. – 2008. – **49**, № 4. – С. 688 – 695.
2. Stokes R.H. // Austral. J. Chem. – 1967. – **20**, N 10. – P. 2087 – 2100.
3. Gucker F.T. Jr., Gage F.W., Moser C.E. // J. Amer. Chem. Soc. – 1938. – **60**. – P. 2582 – 2588.
4. Jakli Gy., Van Hook W.A. // J. Phys. Chem. – 1981. – **85**, N 23. – P. 3480 – 3493.
5. Cornish B.D., Speedy R.J. // Ibid. – 1984. – **88**, N 9. – P. 1888 – 1892.
6. Speedy R.J. // Ibid. – 1987. – **91**, N 12. – P. 3354 – 3358.
7. Speedy R.J. // Ibid. – 1982. – **86**, N 6. – P. 982 – 991.
8. Speedy R.J. // Ibid. – № 15. – P. 3002 – 3005.
9. Vedamuthu M., Singh S., Robinson G.W. // Ibid. – 1994. – **98**, N 34. – P. 8591 – 8593.
10. Vedamuthu M., Singh S., Robinson G.W. // Ibid. – 1996. – **100**, N 9. – P. 3825 – 3827.
11. Иванов Е.В., Абросимов В.К. // Журн. общей химии. – 2000. – **70**, Вып. 3. – С. 408 – 419.
12. Иванов Е.В., Абросимов В.К. Современное состояние исследований структурных и объемных свойств мочевины и ее водных растворов // Биологически активные вещества в растворах. Структура, термодинамика, реакционная способность ("Проблемы химии растворов") / Отв. ред. акад. А.М. Кутепов. – М.: Наука, 2001.
13. Gucker F.T. Jr., Ayres F.D. // J. Amer. Chem. Soc. – 1937. – **59**. – P. 2152 – 2155.
14. Cabani S., Conti G., Martinelli A., Matteoli E. // J. Chem. Soc. Faraday Trans. I. – 1973. – **69**. – P. 2112 – 2123.
15. Ruehrwein R.A., Huffman H.M. // J. Amer. Chem. Soc. – 1946. – **68**. – P. 1759 – 1761.
16. Кесслер Ю.М., Столыгин В.Ф., Зайцев А.Л. и др. // Докл. АН СССР. – 1987. – **293**. – С. 619 – 622.
17. Кесслер Ю.М., Зайцев А.Л. Сольвофобные эффекты. Теория, эксперимент, практика. – Л.: Химия, 1989.
18. Рабинович И.Б. Влияние изотопии на физико-химические свойства жидкостей. – М.: Наука, 1968.
19. Philip P.R., Perron G., Desnoyers J.E. // Canad. J. Chem. – 1974. – **52**. – P. 1709 – 1713.
20. Cristinziano P., Lelj F., Amodeo P. et al. // J. Chem. Soc. Faraday Trans. I. – 1989. – **85**. – P. 621 – 632.
21. Bertran C.A., Cirino J.J.V., Freitas L.C.G. // J. Bras. Chem. Soc. – 2002. – **13**, N 2. – P. 238 – 244.
22. Hamilton D., Stokes R. H. // J. Solut. Chem. – 1972. – **1**, N 3. – P. 213 – 221.
23. Абросимов В.К., Иванов Е.В. Вода в неводных растворителях: состояние и сольватация // Вода: структура, состояние, сольватация. Достижения последних лет ("Проблемы химии растворов") / Отв. ред. акад. А.М. Кутепов. – М.: Наука, 2003.
24. Goldblatt M. // J. Phys. Chem. – 1964. – **68**, N 1. – P. 147 – 151.